

## Задача быстродействия на группе движений плоскости с управлением в полукруге

Исследуется задача быстродействия на группе движений плоскости с управлением в полукруге. Рассматриваемая управляемая система задает модель машины на плоскости, которая может двигаться вперед и вращаться на месте. Оптимальные по заданной внешней стоимости траектории такой системы используются в обработке изображений для поиска выделяющихся кривых. В частности, такие траектории используются в анализе медицинских изображений при поиске сосудов на фото сетчатки глаза человека. Задача представляет интерес в геометрической теории управления, как модельный пример, в котором множество значений управляющих параметров содержит ноль на границе. В работе изучен вопрос управляемости и существования оптимальных траекторий. На основе анализа гамильтоновой системы принципа максимума Понтрягина найден явный вид экстремальных управлений и траекторий. Частично исследован вопрос оптимальности экстремалей. Описана структура оптимального синтеза.

Библиография: 33 названия.

**Ключевые слова:** субриманова геометрия, геодезические, задача оптимального управления.

### § 1. Введение

В 1957 году Л. Дубинс описал в работе [1] задачу поиска кратчайших путей для автомобиля (машины), движущегося по плоскости из начальной конфигурации (положение и направление) в конечную конфигурацию. В постановке Дубинса автомобиль может двигаться только вперед (не имеет задней передачи), а его угловая скорость ограничена. Позже, в 1990 году, Дж. Ридс и Л. Шепш рассмотрели в работе [2] ту же задачу, но применительно к автомобилю, у которого есть возможность движения назад. В обеих статьях основное внимание уделяется описанию и доказательству общей формы кратчайших путей без предоставления явных решений для заданных граничных условий (начальной и конечной конфигураций).

Важным недостатком моделей Дубинса и Ридса-Шепша является то, что траектории движения автомобиля имеют ограниченную кривизну. Это означает, что машина не может вращаться на месте. В то же время, в робототехнике принято рассматривать модель автомобиля с независимыми приводами для двух колес. В такой системе два колеса могут вращаться в разных направлениях с

---

Исследование выполнено при финансовой поддержке РФФ в рамках научного проекта № 17-11-01387-П в Институте программных систем им. А.К. Айламазяна Российской академии наук

одинаковой скоростью, что обеспечивает вращение на месте. Таким образом, естественное обобщение машины Ридса-Шеппа приводит к модели автомобиля, траектории которого имеют неограниченную кривизну. Оптимальный синтез в такой системе получен Ю.Л. Сачковым [3]. Аналогичное обобщение машины Дубинса приводит к модели, предложенной Р. Дайтсом [4].

Рассмотрим модель автомобиля, движущегося по плоскости, см. Рис. 1. Автомобиль имеет два параллельных колеса, равноудаленных от центра масс, который совпадает с серединой оси колесной пары. Оба колеса имеют независимые приводы, которые могут вращаться вперед и назад, так что соответствующее качение колес происходит без проскальзывания. Конфигурация системы описывается тройкой  $q = (x, y, \theta) \in \mathbb{M} = \mathbb{R}^2 \times S^1$ , где  $(x, y) \in \mathbb{R}^2$  — центральная точка, а  $\theta \in S^1$  — угол ориентации автомобиля, совпадающий с направлением колес. Заметим, что конфигурационное пространство  $\mathbb{M}$  образует группу Ли  $SE(2)$  — группу движений плоскости:

$$\mathbb{M} = \mathbb{R}^2 \times S^1 \simeq SE(2).$$

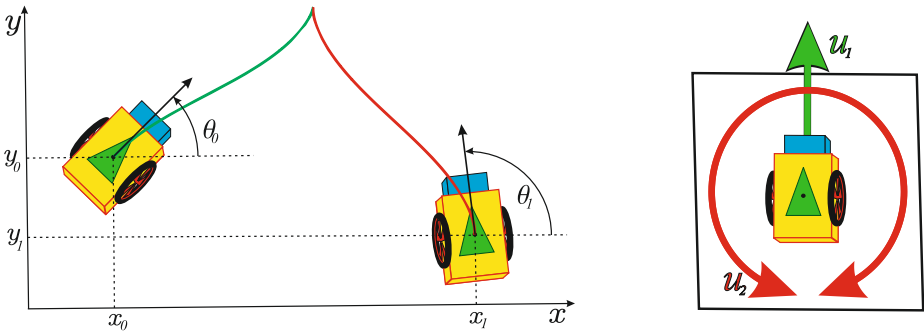


Рис. 1. **Слева:** Конфигурация системы “машина на плоскости” определяется положением  $(x, y) \in \mathbb{R}^2$  и углом ориентации  $\theta \in S^1$ . В модели Сачкова машина может двигаться вперед (часть траектории выделена зеленым) и назад (выделена красным). В момент смены направления движения траектория имеет точку возврата. **Справа:** Машина имеет два управления:  $u_1$ , отвечающее за движение вперед, и  $u_2$ , отвечающее за повороты. В модели Дайтса движение назад запрещено  $u_1 \geq 0$ .

С точки зрения водителя у автомобиля есть два управления: акселератор  $u_1$  и рулевое колесо  $u_2$ . В таких обозначениях динамика автомобиля описывается следующей управляемой системой, см. [5]:

$$\begin{cases} \dot{x} = u_1 \cos \theta, \\ \dot{y} = u_1 \sin \theta, \\ \dot{\theta} = u_2, \end{cases} \quad \begin{aligned} (u_1, u_2) &\in U \subset \mathbb{R}^2, \\ (x, y, \theta) &\in \mathbb{M} = \mathbb{R}^2 \times S^1. \end{aligned} \quad (1.1)$$

Задача заключается в поиске управления  $(u_1(t), u_2(t))$  и соответствующей траектории  $\gamma(t) = (x(t), y(t), \theta(t))$  на временном интервале  $t \in [0, T]$ , удовлетворяющей системе (1.1) с граничными условиями

$$\gamma(0) = (x_0, y_0, \theta_0) = q_0, \quad \gamma(T) = (x_1, y_1, \theta_1) = q_1, \quad (1.2)$$

где  $q_0, q_1 \in \mathbb{M}$  — это начальная и конечная конфигурации системы.

Такая задача в общем случае допускает бесконечное число решений. Выбор конкретного решения традиционно осуществляется путем введения критерия качества различных траекторий. Для этого к системе добавляется функционал стоимости, который требуется минимизировать, чтобы найти оптимальное решение. Классической является задача быстрогодействия

$$T \rightarrow \min. \tag{1.3}$$

Еще один естественный критерий оптимальности — минимизация “маневра”

$$\int_0^T \sqrt{u_1^2(t) + u_2^2(t)} dt \rightarrow \min, \tag{1.4}$$

где конечное время  $T \geq 0$  свободно.

Эти два критерия могут быть эквивалентны при выборе подходящей области допустимых управлений. Например, в случае  $u_1^2(t) + u_2^2(t) \leq 1$  два критерия эквивалентны, поскольку любая нетривиальная оптимальная траектория может быть натурально параметризована  $u_1^2(t) + u_2^2(t) = 1$ .

**ЗАМЕЧАНИЕ 1.** Задача управления (1.1), (1.2), (1.4) при  $U = -U$  является задачей оптимизации кривой в пространстве  $\mathbb{M}$ , снабженном естественной метрикой, определенной для кривых  $\gamma(t) = (x(t), y(t), \theta(t))$ , удовлетворяющих условию пропорциональности вектора  $(\dot{x}(t), \dot{y}(t))$  вектору  $(\cos \theta(t), \sin \theta(t))$ . Формулируя задачу таким образом, она становится одним из простейших примеров субримановой (СР) геометрии [6]: касательный вектор  $\dot{\gamma}(t)$  должен лежать в плоскости, натянутой на вектора  $(\cos \theta(t), \sin \theta(t), 0)$  и  $(0, 0, 1)$ .

Различные множества допустимых управлений  $U \ni (u_1, u_2)$  приводят к разным моделям автомобиля на плоскости, см. [7]. Например, см. Рис. 2, задача минимизации времени для автомобиля с управлением

- $u_1 = 1, |u_2| \leq \kappa, \kappa > 0$  приводит к модели Дубинса [1];
- $|u_1| = 1, |u_2| \leq \kappa, \kappa > 0$  приводит к модели Ридса-Шеппа [2];
- $u_1^2 + u_2^2 \leq 1$  приводит к модели машины, траектории которой задаются субримановыми кратчайшими, исследованными Сачковым [3];
- $u_1^2 + u_2^2 \leq 1, u_1 \neq 0$  приводит к модели, исследованной Берестовским [8];
- $u_1^2 + u_2^2 \leq 1, u_1 \geq 0$  приводит к модели машины, движущейся вперед и поворачивающейся на месте, предложенной Дайтсом [4].

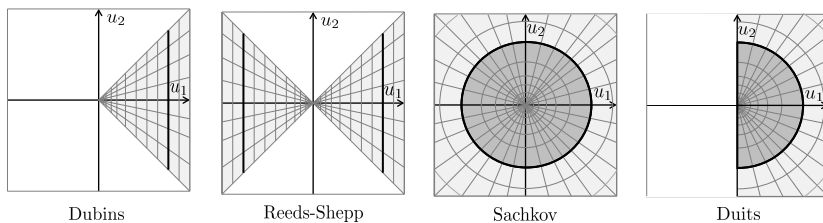


Рис. 2. Множество допустимых управлений для различных моделей.

В данной работе исследуется модель Р. Дайтса [4]. Актуальность модели обусловлена приложением к обработке изображений. Оптимальные для заданной внешней стоимости траектории такой системы используются для поиска выделяющихся кривых. В частности, такие траектории используются в анализе медицинских изображений при поиске сосудов на фото сетчатки глаза. Модель Дайтса была разработана, чтобы устранить проблему точек возврата, возникающую в методе трассировки сосудов с помощью субримановых (СР) кратчайших [9]. Отметим, что для устранения точек возврата применялся также другой подход [10], основанный на замене конфигурационного пространства с  $SE(2)$  на  $PT(\mathbb{R}^2)$ . Такой подход позволил существенно сократить число ситуаций, в которых возникают точки возврата, однако полностью проблема устранена не была. Более подробно применение модели в обработке изображений обсуждается в следующем разделе.

Помимо актуальности с точки зрения приложений рассматриваемая задача представляет самостоятельный интерес в геометрической теории управления [11], как модельный пример задачи оптимального управления, в которой нулевое управление находится на границе множества управляющих параметров. Наиболее общий подход [12] к решению родственных задач основан на выпуклой тригонометрии. Подход покрывает класс задач оптимального управления с двумерным управлением, принадлежащим произвольному выпуклому компакт, содержащему ноль внутри. Обобщить этот подход на случай, когда ноль лежит на границе, непосредственно не удастся. Для систем такого типа требуется развитие новых методов. В данной статье детально исследован частный случай такой системы.

Работа имеет следующую структуру. Помимо введения, в котором описана история задачи и отражена ее актуальность в мобильной робототехнике и теории управления, статья содержит пять разделов и заключение. Раздел 2 посвящен приложениям в моделировании биологических зрительных систем и обработке изображений. В разделе 3 приводится формальная постановка задачи. В разделе 4 доказывается полная управляемость и существование оптимальных управлений. В разделе 5 к задаче применяется принцип максимума Понтрягина (ПМП), исследуется гамильтонова система ПМП и приводится явный вид экстремальных управлений и траекторий. В разделе 6 исследуется оптимальность экстремальных траекторий и структура оптимального синтеза. В заключении подводятся итоги работы.

## § 2. Приложение в моделях зрения и обработке изображений

Принципы устройства биологических зрительных систем вызывают большой интерес среди исследователей во многих областях науки. Важным направлением является разработка и изучение реалистичных математических моделей, описывающих определенный этап обработки зрительного сигнала. Математическая модель первичной зрительной коры мозга как субриманова структура в пространстве позиций и направлений была предложена Ж. Петито [17]. Затем модель была уточнена Дж. Читти и А. Сарти [13].

Модель Петито-Читти-Сарти представляет первичную зрительную кору как субриманову структуру на группе Ли  $SE(2)$ . Иллюзорные контуры в такой модели определяются как траектории системы (1.1), на которых достигается минимум функционала (1.3) на множестве управлений  $u_1^2 + u_2^2 \leq 1$ . Согласно этой модели процесс дополнения скрытых контуров происходит путем минимизации энергии возбуждения нейронов, воспринимающих визуальную информацию в областях повреждения. Такой процесс моделируется действием оператора гипоэллиптической диффузии, изученного в [14, 15]. Результирующие кривые являются субримановыми кратчайшими. Такие кривые применяются для восстановления поврежденных изображений [16] и используются для объяснения некоторых зрительных иллюзий [18].

В работах [19, 20] указано, что не все траектории модели Петито-Читти-Сарти согласованы с экспериментами из психологии зрения по построению поля ассоциаций, описанными в работе [21]. Поле ассоциаций представляет собой множество граничных условий (позиций и направлений), соединяемых иллюзорным контуром в процессе работы зрительной системы человека. Экспериментально было установлено, что не любые граничные условия соединяются. Для тех граничных условий, которые соединяются, иллюзорный контур является гладкой кривой на плоскости  $\mathbb{R}^2$ . Заметим, что в модели Петито-Читти-Сарти любые заданные граничные условия могут быть соединены оптимальной траекторией. При этом проекция оптимальной траектории на плоскость может иметь точки возврата (не является гладкой).

Естественным уточнением модели Петито-Читти-Сарти является сужение задачи на класс граничных условий, соединяемых оптимальной траекторией без точек возврата. Исследование множества таких граничных условий произведено в [19, 20]. Перспективным направлением является модификация модели таким образом, чтобы траектории с точками возврата были априори исключены. Такая модификация дается моделью Дайтса [4].

Принципы работы биологических зрительных систем активно используются в компьютерном зрении. На основе этих принципов создаются эффективные методы обработки изображений: улучшение, сегментация, восстановление, поиск объектов. Так, например, в работе [22] предложен подход к обработке изображений, основанный на поднятии изображения в расширенное пространство позиций и направлений (invertible orientation scores). После такого подъема, субримановы (СР) кратчайшие используются для поиска выделяющихся кривых [23, 24, 25].

В частности, задача поиска выделяющихся кривых возникает в анализе медицинских изображений при поиске кровеносных сосудов на фото сетчатки глаза человека, см. Рис. 3. Типичные проблемы для промышленных систем трассировки возникают в ситуациях, когда сосуды на фото пересекаются. Решение этой проблемы достигается путем поднятия изображения в расширенное пространство  $\mathbb{M}$  позиций и направлений. Метод трассировки сосудов с помощью СР кратчайших на  $\mathbb{M}$  предложен в [9].

Недостатком СР модели является наличие точек возврата. Такие кривые нежелательны в задаче трассировки сосудов. Ограничение управления на полукруг устраняет этот недостаток. При этом точки возврата становятся точ-

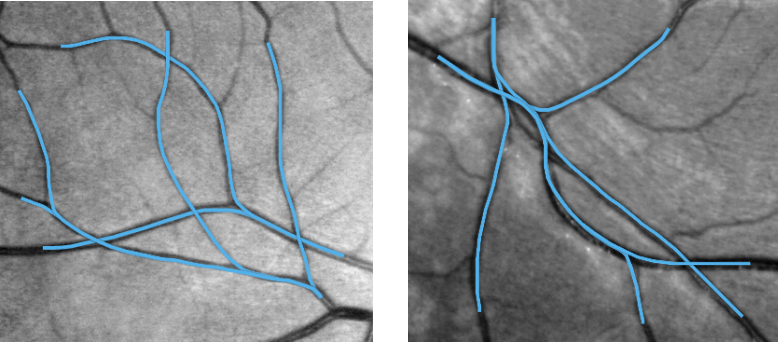


Рис. 3. Трассировка сосудов на фото сетчатки глаза с помощью траекторий на  $SE(2)$  с управлением в полукруге. Адаптировано из [26].

ками поворота на месте. Возникновение точки поворота типично наблюдается в местах ветвления сосудов. Более подробно с результатами трассировки сосудов с помощью оптимальных траекторий на  $SE(2)$  с управлением в полукруге можно ознакомиться в [26].

### § 3. Постановка задачи

Движением метрического пространства называется преобразование, сохраняющее расстояние между точками. В данной работе рассматривается группа  $SE(2)$  собственных евклидовых движений плоскости  $\mathbb{R}^2$ . Любое собственное движение  $\mathbb{R}^2$  представляется композицией параллельного переноса и поворота плоскости. Таким образом, элемент  $SE(2)$  задается тройкой чисел  $(x, y, \theta)$ , где  $(x, y) \in \mathbb{R}^2$  — вектор параллельного переноса,  $\theta \in S^1 = \mathbb{R}/2\pi\mathbb{Z}$  — угол поворота.

Рассматривается следующая управляемая система:

$$\begin{cases} \dot{x} = u_1 \cos \theta, \\ \dot{y} = u_1 \sin \theta, \\ \dot{\theta} = u_2, \end{cases} \quad (x, y, \theta) = q \in SE(2) = \mathbb{M}, \quad u_1^2 + u_2^2 \leq 1, u_1 \geq 0. \quad (3.1)$$

Исследуется задача быстродействия: по заданным граничным условиям  $q_0, q_1 \in \mathbb{M}$  требуется найти управления  $u_1(t), u_2(t)$  такие, что соответствующая траектория  $\gamma : [0, T] \rightarrow \mathbb{M}$  переводит систему из начального состояния  $q_0$  в конечное состояние  $q_1$  за минимальное время

$$\gamma(0) = q_0, \quad \gamma(T) = q_1, \quad T \rightarrow \min. \quad (3.2)$$

В данной постановке управления  $u_i$  принадлежат классу  $L^\infty([0, T], \mathbb{R})$ , а соответствующие траектории  $\gamma$  являются липшицевыми кривыми на  $\mathbb{M}$ .

**ЗАМЕЧАНИЕ 2.** Система (3.1) инвариантна относительно параллельных переносов и поворотов плоскости. В силу этого без ограничения общности можно свести исследование при произвольном  $q_0 = (x_0, y_0, \theta_0)$  к случаю  $q_0 = (0, 0, 0)$ .

ЗАМЕЧАНИЕ 3. Управление  $u_1$  задает инфинитезимальный параллельный перенос в направлении  $\theta$ , а  $u_2$  — поворот плоскости  $\mathbb{R}_{x,y}^2$ . При  $u_2 > 0$  поворот происходит от оси  $O_x$  к  $O_y$ , а при  $u_2 < 0$  — в обратном направлении.

Классический подход [11] к задаче (3.1)–(3.2) состоит из следующих этапов:

1. доказательство существования решения;
2. параметризация экстремалей  $\gamma$  с помощью принципа максимума Понтрягина (ПМП);
3. определение времени разреза  $t_{cut}(\gamma)$ , после которого  $\gamma$  теряет оптимальность;
4. выбор оптимальной траектории для заданных граничных условий.

ЗАМЕЧАНИЕ 4. Заметим, что при  $t \in [0, t_{cut})$  оптимальная траектория  $\gamma$  является единственной. В конечную точку  $\gamma(t_{cut})$  могут приходить несколько оптимальных траекторий, в том числе бесконечно много.

Далее в разделах 4–5 полностью проводятся этапы 1 и 2 соответственно. В разделе 6 обсуждаются этапы 3 и 4, которые на данный момент являются открытыми математическими задачами в общем случае. Проведение этих этапов позволит построить оптимальный синтез в задаче. На данный момент неизвестно время разреза  $t_{cut}$  для всех возможных экстремалей  $\gamma$ . Сложность его вычисления заключается в решении трансцендентных уравнений, возникающих при параметризации экстремалей.

#### § 4. Существование решения

При исследовании задачи (3.1)–(3.2) возникает вопрос существования допустимой траектории, соединяющей граничные условия (3.2). Если при любых  $q_0, q_1 \in \mathbb{M}$  ответ положителен, то управляемая система называется вполне управляемой. Докажем конструктивно полную управляемость системы (3.1).

В силу Замечания 2 положим  $q_0 = (0, 0, 0)$ . Обозначим  $q_1 = (x_1, y_1, \theta_1)$ . Искомое управление будем строить из трех частей: вращение на месте на угол  $\alpha = \arg(x_1 + iy_1) \in (-\pi, \pi]$ , движение вперед на величину  $l = \sqrt{x_1^2 + y_1^2}$ , вращение на месте на угол  $\beta = (\theta_1 - \alpha) \bmod 2\pi \in (-\pi, \pi]$ . Здесь  $\arg(a + ib)$  — аргумент комплексного числа  $a + ib$ . Введем следующие обозначения:

$$s_1 = \text{sign } \alpha, \quad s_2 = \text{sign } \beta; \quad t_0^1 = |\alpha| \in [0, \pi], \quad t_0^2 = |\alpha| + l, \quad T = |\alpha| + l + |\beta|.$$

Искомое управление  $\bar{\mathbf{u}} = (\bar{u}_1, \bar{u}_2)$  имеет вид

$$\bar{\mathbf{u}}(t) = \begin{cases} (0, s_1), & \text{при } t \in [0, t_0^1], \\ (1, 0), & \text{при } t \in [t_0^1, t_0^2], \\ (0, s_2), & \text{при } t \in [t_0^2, T]. \end{cases}$$

Соответствующая траектория  $\bar{\gamma}$  задается следующей таблицей:

$t \in$	$[0, t_0^1)$	$[t_0^1, t_0^2)$	$[t_0^2, T]$
$\bar{x}(t)$	0	$(t - s_1 t_0^1) \cos t_0^1$	$x_1$
$\bar{y}(t)$	0	$(s_1 t - t_0^1) \sin t_0^1$	$y_1$
$\bar{\theta}(t)$	$s_1 t$	$s_1 t_0^1$	$s_1 t_0^1 + s_2(t - t_0^2)$ ,

Вычисление  $\theta(T) = s_1 t_0^1 + s_2(t - t_0^2) = \alpha + \beta = \theta_1$  показывает, что траектория  $\bar{\gamma}$  удовлетворяет граничным условиям  $\bar{\gamma}(0) = (0, 0, 0)$ ,  $\bar{\gamma}(T) = (x_1, y_1, \theta_1)$ . Итак мы построили управление  $\bar{u}$ , переводящее систему из  $q_0$  в  $q_1$ , и тем самым доказали свойство полной управляемости системы (3.1).

Далее возникает вопрос существования оптимальных траекторий: всегда ли существует допустимая траектория, удовлетворяющая условиям (3.2), на которой достигается минимальное значение  $T$ ? Положительный ответ на этот вопрос дается теоремой Филиппова [11, 27].

Подводя итог, в данном разделе доказана следующая теорема:

**ТЕОРЕМА 1.** *Решение задачи быстродействия (3.1)–(3.2) существует для любых граничных условий  $q_0, q_1 \in \mathbb{M}$ .*

## § 5. Принцип максимума Понтрягина

Исследуется задача быстродействия

$$\begin{cases} \dot{x} = u_1 \cos \theta, & x(0) = 0, & x(T) = x_1, \\ \dot{y} = u_1 \sin \theta, & y(0) = 0, & y(T) = y_1, \\ \dot{\theta} = u_2, & \theta(0) = 0, & \theta(T) = \theta_1, \end{cases} \quad \begin{matrix} u_1 \geq 0, \\ u_1^2 + u_2^2 \leq 1, \end{matrix} \quad T \rightarrow \min. \quad (5.1)$$

Обозначим через  $U$  множество допустимых управлений — полукруг

$$U = \{(u_1, u_2) \mid u_1 \geq 0, u_1^2 + u_2^2 \leq 1\}.$$

Применим к (5.1) необходимое условие оптимальности — ПМП [11, 27].

Введем укороченную функцию Понтрягина

$$H_u = u_1(p_1 \cos \theta + p_2 \sin \theta) + u_2 p_3, \quad (p_1, p_2, p_3) \in T_e^* \mathbb{M} \simeq \mathbb{R}^3. \quad (5.2)$$

Пусть  $(u(t), q(t))$ ,  $t \in [0, T]$ , — оптимальный процесс, тогда выполнены условия:

1. гамильтонова система  $\dot{p} = -\frac{\partial H_u}{\partial q}$ ,  $\dot{q} = \frac{\partial H_u}{\partial p}$ ;
2. условие максимума  $H_{u(t)}(p(t), q(t)) = \max_{u \in U} H_u(p(t), q(t)) = H \in \{0, 1\}$ .

Случай  $H = 0$  называется аномальным, случай  $H = 1$  — нормальным.

Естественными координатами для левоинвариантных задач на группах Ли являются левоинвариантные гамильтонианы, линейные на слоях кокасательного расслоения [11]. Обозначим их через  $h_1$ ,  $h_2$  и  $h_3$ :

$$h_1 = p_1 \cos \theta + p_2 \sin \theta, \quad h_2 = p_3, \quad h_3 = p_1 \sin \theta - p_2 \cos \theta.$$

Функция Понтрягина примет вид

$$H_u = u_1 h_1 + u_2 h_2.$$

**Гамильтонова система ПМП** имеет вид:

$$\begin{cases} \dot{x} = u_1 \cos \theta, \\ \dot{y} = u_1 \sin \theta, \\ \dot{\theta} = u_2, \end{cases} \quad \begin{cases} \dot{h}_1 = -u_2 h_3, \\ \dot{h}_2 = u_1 h_3, \\ \dot{h}_3 = u_2 h_1. \end{cases} \quad (5.3)$$



Подсистема на переменные состояния  $x, y, \theta$  называется *горизонтальной* частью, а подсистема на сопряженные переменные  $h_1, h_2, h_3$  — *вертикальной* частью гамильтоновой системы ПМП. Решение вертикальной части вместе с условием максимума определяет экстремальные управления, а решение горизонтальной части — экстремальные траектории.

**Условие максимума** имеет вид  $H = \max_{u \in U} H_u$ .

При  $h_1 < 0$  гамильтониан равен  $H = |h_2|$ , максимум достигается при

$$u_1 = 0, \quad u_2 = \begin{cases} \text{sign } h_2, & \text{при } h_2 \neq 0, \\ \forall u_2 \in I = [-1, 1], & \text{при } h_2 = 0. \end{cases} \quad (5.4)$$

При  $h_1 = 0$  гамильтониан равен  $H = |h_2|$ , максимум достигается при

$$\begin{cases} u_1 = 0, u_2 = \text{sign } h_2, & \text{при } h_2 \neq 0, \\ \forall (u_1, u_2) \in U, & \text{при } h_2 = 0. \end{cases} \quad (5.5)$$

При  $h_1 > 0$  гамильтониан равен  $H = \sqrt{h_1^2 + h_2^2}$ , максимум достигается при

$$\mathbf{u} = \frac{\mathbf{h}}{\sqrt{h_1^2 + h_2^2}}, \quad \mathbf{u} = \begin{pmatrix} u_1 \\ u_2 \end{pmatrix}, \quad \mathbf{h} = \begin{pmatrix} h_1 \\ h_2 \end{pmatrix}. \quad (5.6)$$

**ЗАМЕЧАНИЕ 5.** Выражение экстремального управления при  $h_1 > 0$  имеет следующую геометрическую интерпретацию. Функция  $H_u = u_1 h_1 + u_2 h_2 = \langle \mathbf{u}, \mathbf{h} \rangle$  достигает максимума по  $(u_1, u_2) \in U$ , когда векторы  $\mathbf{u}$  и  $\mathbf{h}$  сонаправлены и евклидова длина  $\|\mathbf{u}\|$  имеет максимальное значение, то есть  $u_1^2 + u_2^2 = 1$ . Таким образом  $\mathbf{u} = \mathbf{h}/H$ , где  $H = \sqrt{h_1^2 + h_2^2}$ .

Заключаем, что гамильтониан ПМП имеет вид

$$H = \max_{u \in U} H_u = \begin{cases} |h_2|, & \text{при } h_1 \leq 0, \\ \sqrt{h_1^2 + h_2^2}, & \text{при } h_1 > 0. \end{cases} \quad (5.7)$$

Экстремальное управление при  $H = 1$  задается следующей таблицей:

	$h_1 < 0$	$h_1 = 0$	$h_1 > 0$
$h_2 < 0$	$u_1 = 0, u_2 = -1$	$(u_1, u_2) = (0, -1)$	$(u_1, u_2) = (h_1, h_2)$
$h_2 = 0$	$u_1 = 0, u_2 \in I$	$(u_1, u_2) \in U$	$(u_1, u_2) = (h_1, h_2)$
$h_2 > 0$	$u_1 = 0, u_2 = 1$	$(u_1, u_2) = (0, 1)$	$(u_1, u_2) = (h_1, h_2)$

**5.1. Анормальный случай  $H = 0$ .** При  $h_1 < 0$  из (5.7) следует  $h_2 = 0$ . В силу (5.4) имеем  $u_1 = 0, u_2 \in I = [-1, 1]$ . Гамильтонова система

$$\begin{cases} \dot{x} = 0, & x(0) = 0, \\ \dot{y} = 0, & y(0) = 0, \\ \dot{\theta} = u_2, & \theta(0) = 0, \end{cases} \quad \begin{cases} \dot{h}_1 = -u_2 h_3, & h_1(0) = h_{10}, \\ \dot{h}_3 = u_2 h_1, & h_3(0) = h_{30} \end{cases} \quad (5.9)$$

имеет для любого допустимого управления  $u_2(t)$  единственное решение

$$\begin{cases} x(t) = 0, \\ y(t) = 0, \\ \theta(t) = U_2(t), \end{cases} \quad \begin{cases} h_1(t) = h_{10} \cos U_2(t) - h_{30} \sin U_2(t), \\ h_3(t) = h_{30} \cos U_2(t) + h_{10} \sin U_2(t), \end{cases} \quad (5.10)$$

где

$$U_2(t) = \int_0^t u_2(\tau) d\tau.$$

При  $h_1 = 0$  из (5.7) следует  $h_2 = 0$ . Поскольку гамильтониан  $H = |h_2|$  является первым интегралом системы, то  $\dot{h}_2 = 0$ . Из гамильтоновой системы (5.3) следует  $h_3 u_1 = 0$ . Случай  $h_3 = 0$  противоречит условию нетривиальности начального ковектора в ПМП. В случае  $u_1 = 0$  выражения (5.4) и (5.5) совпадают. Таким образом, экстремальное управление при  $h_1 = 0$  имеет тот же вид, что и при  $h_1 < 0$ .

При  $h_1 > 0$  из (5.7) следует  $\sqrt{h_1^2 + h_2^2} = 0 \Leftrightarrow h_1 = h_2 = 0$ , что противоречит предположению  $h_1 > 0$ . Таким образом, этот случай невозможен. При  $h_1 > 0$  аномальных экстремалей не существует.

Таким образом, мы получили следующее утверждение

**ТЕОРЕМА 2.** *Аномальное управление существует при  $h_1 \leq 0$  и имеет вид  $u_1(t) = 0$ ,  $u_2(t) \in I = [-1, 1]$  — произвольная функция класса  $L_\infty([0, T], I)$ , удовлетворяющая условию  $h_{10} \cos U_2(t) - h_{30} \sin U_2(t) < 0$  при всех  $t \in [0, T]$ .*

Аномальные траектории — решения горизонтальной части системы (5.9). Они являются поворотами с постоянной скоростью  $s_2 = \pm 1$ :

$$x(t) = 0, \quad y(t) = 0, \quad \theta(t) = s_2 t.$$

**5.2. Нормальный случай  $H = 1$ .** Вертикальная часть гамильтоновой системы ПМП (5.3) имеет вид

$$\dot{h}_1 = -u_2 h_3, \quad \dot{h}_2 = u_1 h_3, \quad \dot{h}_3 = u_2 h_1, \quad (5.11)$$

где управление  $(u_1, u_2)$  задано соотношениями (5.4)–(5.6).

Система (5.11) имеет первый интеграл — гамильтониан  $H$ , заданный формулой (5.7), зависящей от знака  $h_1$ . Помимо гамильтониана имеется еще один первый интеграл — функция Казимира  $E$ , заданная единственной формулой на всей области определения:

$$E = h_1^2 + h_3^2. \quad (5.12)$$

**ЗАМЕЧАНИЕ 6.** Функции Казимира — это функции на двойственном пространстве алгебры Ли, коммутирующие в смысле скобок Пуассона со всеми левоинвариантными гамильтонианами. Они являются универсальными законами сохранения на группе Ли. Связные совместные поверхности уровня всех функций Казимира являются орбитами коприсоединенного представления группы Ли (см. [29; Утв. 7.7]).

Первый интеграл  $E$  является функцией Казимира на  $SE(2)$ , поскольку он коммутирует со всеми левоинвариантными гамильтонианами:

$$\{E, h_1\} = \{E, h_2\} = \{E, h_3\} = 0.$$

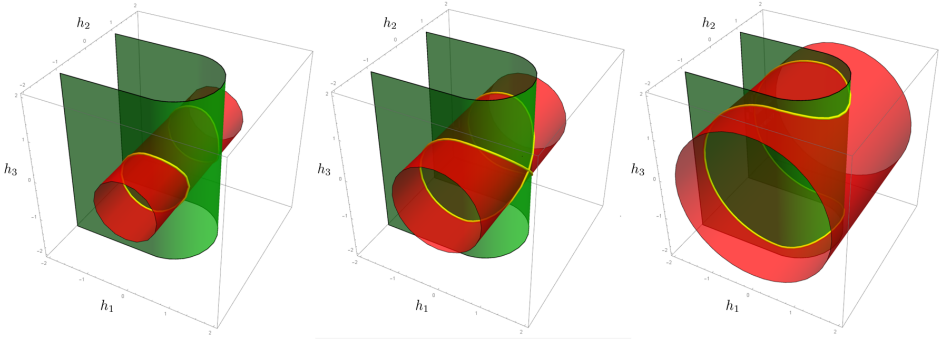


Рис. 4. Взаимное расположение поверхностей уровня гамильтониана  $H$  (зеленая поверхность) и функции Казимира  $E$  (красная поверхность). Линия пересечения выделена желтым. Слева:  $E < 1$ . Центр:  $E = 1$ . Справа:  $E > 1$ .

На Рис. 4 изображены различные варианты взаимного расположения поверхности уровня гамильтониана  $H = 1$ , представляющей собой две полуплоскости  $\{(h_1, h_3) \mid h_1 < 0, h_2 = \pm 1\}$ , склеенные половиной цилиндра  $\{h_1^2 + h_2^2 = 1 \mid h_1 \geq 0\}$ , и поверхности уровня функции Казимира  $E \geq 0$ , представляющей собой цилиндр  $h_1^2 + h_2^2 = E$ . Помимо вырожденных случаев  $\{h_1 = 0, h_2 = \pm 1, h_3 = 0\}$  (устойчивые положения равновесия) и  $\{h_1 = 1, h_2 = 0, h_3 = 0\}$  (неустойчивое положение равновесия), возможны три различных случая:  $E < 1$ ,  $E = 1$  и  $E > 1$ . Случай  $E = 1$  называется критическим. В этом случае движение в состоянии (или из состояния) неустойчивого равновесия происходит за бесконечное время.

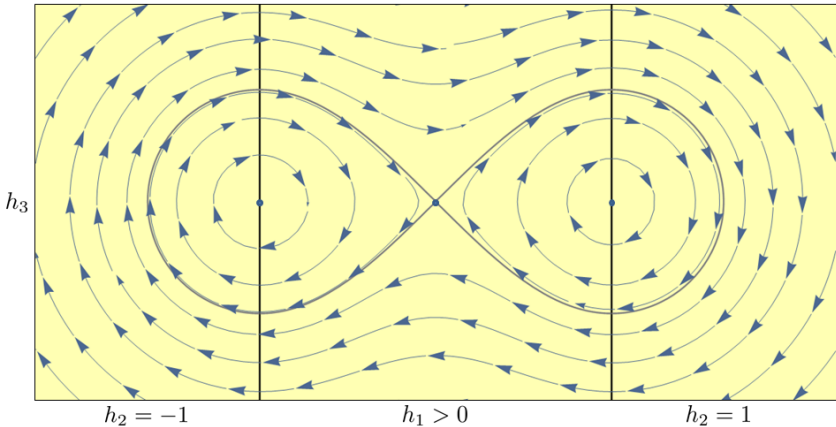


Рис. 5. Фазовый портрет на поверхности уровня гамильтониана  $H = 1$ .

На Рис. 5 приведен фазовый портрет вертикальной части гамильтоновой системы, суженный на поверхность уровня гамильтониана  $H = 1$ . На этом

рисунке поверхность  $H = 1$ , состоящая из двух полуплоскостей, склеенных половиной цилиндра, изображена в развернутом виде. Линии склейки нанесены на рисунок. Левая часть рисунка соответствует фазовому портрету на полуплоскости  $h_2 = -1$ , средняя часть — на половине цилиндра, правая часть — на полуплоскости  $h_2 = 1$ . По вертикали обозначены значения  $h_3$ . По горизонтали — значения  $h_1$  на левой и правых частях рисунка, значение  $\arccos h_1 \in [-\frac{\pi}{2}, \frac{\pi}{2}]$  на средней части рисунка. Траектория, соответствующая критическому значению  $E = 1$  нанесена на рисунок.

В зависимости от знака  $h_1$  получаются две различные системы, см. (5.7). При смене знака  $h_1$  динамика переключается с одной системы на другую. Далее мы проанализируем возможные случаи. Момент времени, в который происходит переключение, будем обозначать  $t_0 \in \{t_0^0 = 0, t_0^1, t_0^2, \dots\}$ .

5.2.1. Случай  $h_1 < 0$ . Заметим, что в силу постоянства гамильтониана  $H$ , см. (5.7), выполнено

$$h_2 = h_{20} = \pm 1.$$

В силу (5.4) имеем  $u_1 = 0$ ,  $u_2 = h_2$ . Обозначим  $s_2 = h_2 = \pm 1$ .

Гамильтонова система ПМП имеет вид

$$\begin{cases} \dot{x} = 0, & x(t_0) = x_0, \\ \dot{y} = 0, & y(t_0) = y_0, \\ \dot{\theta} = s_2, & \theta(t_0) = \theta_0, \end{cases} \quad \begin{cases} \dot{h}_1 = -s_2 h_3, & h_1(t_0) = h_{10}, \\ \dot{h}_3 = s_2 h_1, & h_3(t_0) = h_{30}. \end{cases} \quad (5.13)$$

Решение горизонтальной части имеет вид

$$x(t) = x_0, \quad y(t) = y_0, \quad \theta(t) = \theta_0 + s_2(t - t_0). \quad (5.14)$$

Получаем, что экстремальными траекториями являются повороты плоскости вокруг неподвижной точки  $x_0, y_0$  с постоянной скоростью  $s_2 = \pm 1$ .

Вертикальная часть задана линейной системой ОДУ, которая легко интегрируется:

$$\begin{cases} h_1(t) = h_{10} \cos(t - t_0) - s_2 h_{30} \sin(t - t_0), \\ h_3(t) = h_{30} \cos(t - t_0) + s_2 h_{10} \sin(t - t_0). \end{cases} \quad (5.15)$$

Получаем, что решением вертикальной части являются дуги окружностей в плоскости  $(h_1, h_3)$ , а если точнее, то в полуплоскости  $h_1 < 0$  в силу начального предположения. При  $s_2 = -1$  движение по окружности происходит по часовой стрелке, а при  $s_2 = 1$  — против часовой стрелки.

Для полного исследования рассматриваемого случая осталось вычислить момент времени  $t_1$ , в который произойдет переключение динамики, то есть такой момент, когда условие  $h_1 < 0$  перестанет выполняться

$$t_1 = \min \{t > t_0 \mid h_{10} \cos(t - t_0) - s_2 h_{30} \sin(t - t_0) = 0\}.$$

Геометрически это уравнение означает, что  $t_1 - t_0$  — минимальный угол, на который нужно повернуть плоскость  $(h_1, h_3)$ , чтобы вектор  $(1, 0)$  стал перпендикулярным вектору  $v = (h_{10}, -s_2 h_{30})$ . Рассматривая два возможных варианта расположения  $v$  в полуплоскости  $h_1 < 0$ , находим

$$t_1 - t_0 = \arg(-s_2 h_{30} - i h_{10}) \in (0, \pi]. \quad (5.16)$$

В заключение отметим, что в случае  $t_0 > 0$ , то есть когда уже произошло хотя бы одно переключение, формула (5.16) сводится к  $t_1 - t_0 = \pi$ .

5.2.2. *Случай  $h_1 = 0$ .* В силу постоянства гамильтониана  $H$ , см. (5.7), выполнено  $h_2 = h_{20} = \pm 1$ . В силу (5.5) имеем  $u_1 = 0$ ,  $u_2 = h_2$ . Обозначим  $s_2 = h_2 = \pm 1$ .

Динамика  $h_1$  зависит от знака производной  $\dot{h}_1 = -h_2 h_3$ .

В случае  $h_{30} = 0$  система находится в устойчивом стационарном состоянии  $h_1 = h_3 = 0$ ,  $h_2 = s_2$ . Соответствующее экстремальное управление постоянно  $u_1 = 0$ ,  $u_2 = s_2$ , а экстремальной траекторией является вращение на месте  $x(t) = x_0$ ,  $y(t) = y_0$ ,  $\theta(t) = \theta_0 + s_2(t - t_0)$ . Очевидно, что такие траектории являются оптимальными при  $t - t_0 \in [0, \pi]$ .

В случае  $h_{30} \neq 0$  обозначим  $s_{23} = \text{sign } h_2 h_3$ . Тогда  $\dot{h}_1 = -s_{23} = \pm 1$ . Если  $s_{23} = 1$ , то динамика задается системой (5.13) рассмотренного ранее случая  $h_1 < 0$ . Если  $s_{23} = -1$ , то динамика задается системой (5.17) рассматриваемого далее случая  $h_1 > 0$ .

5.2.3. *Случай  $h_1 > 0$ .* В силу (5.7) имеем  $h_1 = \sqrt{1 - h_2^2}$ . Гамильтонова система ПМП имеет вид

$$\begin{cases} \dot{x} = h_1 \cos \theta, & x(t_0) = x_0, \\ \dot{y} = h_1 \sin \theta, & y(t_0) = y_0, \\ \dot{\theta} = h_2, & \theta(t_0) = \theta_0, \end{cases} \quad \begin{cases} \dot{h}_1 = -h_2 h_3, & h_1(t_0) = h_{10}, \\ \dot{h}_2 = h_1 h_3, & h_2(t_0) = h_{20}, \\ \dot{h}_3 = h_2 h_1, & h_3(t_0) = h_{30}. \end{cases} \quad (5.17)$$

Эта система является модельным примером в геометрической теории управления [11]. Явное выражение решения в эллиптических функциях Якоби получено в статье [3], где авторы свели вертикальную подсистему к уравнению математического маятника и проинтегрировали его в терминах выпрямляющих координат. При этом решение задается различными формулами в разных областях фазового портрета маятника. Конкретный вид формулы определяется характером движения маятника: колебание, вращение, движение по сепаратресе, устойчивое или неустойчивое равновесие.

В данном разделе мы предлагаем другую технику интегрирования, ведущую к явной параметризации решения одной формулой почти всюду. Техника состоит в следующем: сначала мы выведем ОДУ на функцию  $h_2$ , найдем его явное решение, и затем выразим оставшиеся компоненты  $h_1$ ,  $h_3$  через известную функцию  $h_2$  и начальные условия.

Напомним, что помимо первого интеграла  $h_1^2 + h_2^2 = 1$ , имеется еще один первый интеграл — функция Казимира  $E = h_1^2 + h_2^2$ . Обозначим  $M = E - 2$ .

Выписывая вторую производную функции  $h_2$  в силу (5.17), получаем ОДУ

$$\ddot{h}_2 + M h_2 + 2h_2^3 = 0, \quad (5.18)$$

с начальными условиями

$$h_2(t_0) = h_{20}, \quad \dot{h}_2(t_0) = h_{10} h_{30} = \sqrt{1 - h_{20}^2} h_{30}. \quad (5.19)$$

Случай  $h_{30} = 0$ . В силу (5.7) имеем  $|h_{20}| < 1$ . При  $h_{20} = 0$  решением системы (5.18)–(5.19) является неустойчивое положение равновесия. Соответствующей экстремальной траекторией  $\gamma(t) = (x_0 + (t - t_0) \cos \theta_0, y_0 + (t - t_0) \sin \theta_0, \theta_0)$  является движение по прямой. Такие траектории являются оптимальными до бесконечности. При  $h_{20} \neq 0$  система сводится к рассматриваемому далее случаю  $h_{30} \neq 0$  с углом  $\alpha = \frac{\pi}{2} \operatorname{sign} h_{20}$ .

Случай  $h_{30} \neq 0$ . Рассмотрим далее общий случай  $E \notin \{0, 1\}$ . Частные случаи  $E \in \{0, 1\}$  выражаются в элементарных функциях и получаются предельным переходом в формулах при  $E < 1$  и  $E > 1$ .

Обозначим  $s_2 = \operatorname{sign} h_{20}$ ,  $s_3 = \operatorname{sign} h_{30}$ . Введем угол

$$\alpha = \begin{cases} \arg \left( -s_3 \left( h_{20} + i\sqrt{1 - h_{20}^2} \right) \right) \in (-\pi, \pi], & \text{при } E > 1, \\ \arg \left( h_{20} + i\sqrt{1 - h_{20}^2} \right) + \frac{1 - s_2}{2} \pi \in \left( -\frac{\pi}{2}, \frac{\pi}{2} \right], & \text{при } E < 1. \end{cases}$$

Обозначим

$$\xi(t) = \begin{cases} \frac{t - t_0}{k} - s_3 F(\alpha, k), & \text{при } E > 1, \\ -s_2 s_3 \frac{t - t_0}{k} + s_2 F(\alpha, k), & \text{при } E < 1, \end{cases}$$

где  $F$  — эллиптический интеграл 1-го рода в форме Лежандра:

$$F(\alpha, k) = \int_0^\alpha \frac{da}{\sqrt{1 - k^2 \sin^2 a}}.$$

Явное решение уравнения (5.18) для общих граничных условий приведено в [30; App. A], см. также [31]. Подставляя граничные условия (5.19), получаем

$$h_2(t) = -s \operatorname{cn}(\xi(t), k), \quad (5.20)$$

где

$$k = \frac{1}{\sqrt{E}} = \frac{1}{\sqrt{1 - h_{20}^2 + h_{30}^2}}, \quad s = \begin{cases} s_3, & \text{при } E > 1, \\ -s_2, & \text{при } E < 1. \end{cases}$$

Из (5.20) и условия  $h_1(t) = \sqrt{1 - h_2^2(t)}$  находим

$$h_1(t) = \operatorname{sn}(\xi(t), k), \quad (5.21)$$

Функция  $h_3(t)$  находится из системы  $\dot{h}_3(t) = h_1(t)h_2(t)$ ,  $h_3(0) = h_{30}$ :

$$h_3(t) = h_{30} + \int_{t_0}^t h_1(\tau)h_2(\tau) d\tau = h_{30} + \frac{s}{k} \int_{\xi(t_0)}^{\xi(t)} -k^2 \operatorname{sn}(a, k) \operatorname{cn}(a, k) da.$$

Используя тождество  $\frac{d}{da} \operatorname{dn}(a, k) = -k^2 \operatorname{sn}(a, k) \operatorname{cn}(a, k)$ , получаем

$$h_3(t) = h_{30} + \frac{s}{k} (\operatorname{dn}(\xi(t), k) - \operatorname{dn}(\xi(t_0), k)). \quad (5.22)$$

Обозначим

$$H_2(t) = \int_{t_0}^t h_2(\tau) d\tau. \quad (5.23)$$

ЗАМЕЧАНИЕ 7. По аналогии с результатом [32; Гл. 1, § 3] задача Коши

$$\begin{cases} \dot{h}_1 = -h_2 h_3, & h_1(t_0) = h_{10}, \\ \dot{h}_3 = h_2 h_1, & h_3(t_0) = h_{30}. \end{cases}$$

имеет единственное решение  $(h_1, h_3)$ , заданное формулой

$$\begin{aligned} h_1(t) &= h_{10} \cos H_2(t) - h_{30} \sin H_2(t), \\ h_3(t) &= h_{30} \cos H_2(t) + h_{10} \sin H_2(t). \end{aligned}$$

Закключаем, что как и при  $h_1 < 0$  проекции решений вертикальной части на плоскость  $(h_1, h_3)$  являются дугами окружностей, однако в отличие от случая  $h_1 < 0$ , движение по ним происходит с переменной скоростью.

Интеграл (5.23), где  $h_2$  задается формулой (5.20), допускает явное представление в эллиптических функциях Якоби, см. [33],

$$H_2(t) = -s \arccos(\operatorname{dn}(\xi(\tau), k)) \Big|_{\tau=t_0}^{\tau=t}. \quad (5.24)$$

Теперь запишем решение горизонтальной части гамильтоновой системы. Заметим, что в силу  $\dot{\theta} = h_2$ , функции  $\theta$  и  $H_2$ , см. (5.23), связаны соотношением

$$\theta(t) = \theta_0 + H_2(t). \quad (5.25)$$

Компоненты  $x, y$  экстремальной траектории выражаются в квадратурах

$$x(t) = x_0 + \int_{t_0}^t h_1(\tau) \cos \theta(\tau) d\tau, \quad y(t) = y_0 + \int_{t_0}^t h_1(\tau) \sin \theta(\tau) d\tau. \quad (5.26)$$

Введем систему координат  $(\tilde{x}, \tilde{y}, \tilde{\theta})$  в окрестности точки  $(x_0, y_0, \theta_0)$ :

$$\begin{pmatrix} \tilde{x} \\ \tilde{y} \end{pmatrix} = \begin{pmatrix} \cos \beta_0 & \sin \beta_0 \\ -\sin \beta_0 & \cos \beta_0 \end{pmatrix} \begin{pmatrix} x \\ y \end{pmatrix} - \begin{pmatrix} x_0 \\ y_0 \end{pmatrix}, \quad \tilde{\theta} = \theta - \beta_0.$$

где

$$\beta_0 = \theta_0 + s \arccos(\operatorname{dn}(\xi(t_0), k)).$$

В силу левоинвариантности гамильтоновой системы, компоненты траектории  $(\tilde{x}(t), \tilde{y}(t), \tilde{\theta}(t))$  в новых координатах удовлетворяют тем же уравнениям (5.17), что и в исходных координатах:

$$\dot{\tilde{x}}(t) = h_1(t) \cos \tilde{\theta}(t), \quad \dot{\tilde{y}}(t) = h_1(t) \sin \tilde{\theta}(t), \quad \dot{\tilde{\theta}}(t) = h_2(t).$$

Из тождества (5.25) следует

$$\tilde{\theta}(t) = -s \arccos(\operatorname{dn}(\xi(t), k)). \quad (5.27)$$

Компоненты  $\tilde{x}, \tilde{y}$  экстремальной траектории выражаются как

$$\tilde{x}(t) = \int_{t_0}^t h_1(\tau) \cos \tilde{\theta}(\tau) d\tau, \quad \tilde{y}(t) = \int_{t_0}^t h_1(\tau) \sin \tilde{\theta}(\tau) d\tau. \quad (5.28)$$

Интегралы в правой части допускают явное представление. Действительно, подставляя (5.21), (5.27) в (5.28), имеем

$$\begin{aligned}\tilde{x}(t) &= \int_{t_0}^t \operatorname{sn}(\xi(\tau), k) \operatorname{dn}(\xi(\tau), k) \, d\tau = k \int_{\xi(t_0)}^{\xi(t)} \operatorname{sn}(a, k) \operatorname{dn}(a, k) \, da \\ &= -k (\operatorname{cn}(\xi(t), k) - \operatorname{cn}(\xi(t_0), k)), \\ \tilde{y}(t) &= -s \int_{t_0}^t \operatorname{sn}(\xi(\tau), k) \sqrt{1 - \operatorname{dn}^2(\xi(\tau), k)} \, d\tau = -s k^2 \int_{\xi(t_0)}^{\xi(t)} \operatorname{sn}^2(a, k) \, da \\ &= -s (a - E(a, k)) \Big|_{\xi(t_0)}^{\xi(t)} = -s \left( \frac{t - t_0}{k} - E(\xi(t), k) + E(\xi(t_0), k) \right),\end{aligned}$$

где  $E(a, k) = E(\operatorname{am}(a, k), k)$  — эллиптический интеграл второго рода:

$$E(\alpha, k) = \int_0^\alpha \sqrt{1 - k^2 \sin^2 a} \, da.$$

При интегрировании выражения для  $\tilde{y}(t)$  использовалось стандартное тождество  $\sqrt{1 - \operatorname{dn}^2(a, k)} = k |\operatorname{sn}(a, k)|$  и условие  $\operatorname{sn}(\xi(t), k) > 0$ , выполненное в силу предположения  $h_1(t) > 0$ , см. (5.21).

Возвращаясь к исходным координатам  $(x, y, \theta)$ , получаем

$$\begin{pmatrix} x \\ y \end{pmatrix} = \begin{pmatrix} \cos \beta_0 & -\sin \beta_0 \\ \sin \beta_0 & \cos \beta_0 \end{pmatrix} \begin{pmatrix} \tilde{x} \\ \tilde{y} \end{pmatrix} + \begin{pmatrix} x_0 \\ y_0 \end{pmatrix}, \quad \theta = \tilde{\theta} + \beta_0. \quad (5.29)$$

ЗАМЕЧАНИЕ 8. Заметим, что поскольку  $h_1 > 0$ , то траектория может быть параметризована длиной  $s$  ее проекции на плоскость  $(x, y)$ :

$$s(t) = \int_{t_0}^t \sqrt{\dot{x}^2(\tau) + \dot{y}^2(\tau)} \, d\tau = \int_{t_0}^t h_1(\tau) \, d\tau.$$

Этот интеграл выражается явно, см. [33]. В силу (5.21) имеем

$$s(t) = \int_{t_0}^t \operatorname{sn}(\xi(\tau), k) \, d\tau = \ln (\operatorname{dn}(\xi(\tau), k) - k \operatorname{cn}(\xi(\tau), k)) \Big|_{\tau=t_0}^{\tau=t}.$$

Явные выражения для компонент траектории  $x(s)$ ,  $y(s)$ ,  $\theta(s)$ , параметризованной длиной дуги  $s$  на плоскости, найдено в [19].

5.2.4. *Нормальные экстремальные траектории и управления.* Подведем итог этого раздела, сформулировав следующую теорему

ТЕОРЕМА 3. В задаче быстрого действия (3.1)–(3.2) нормальное экстремальное управление  $(u_1(t), u_2(t))$  однозначно определяется значением

$$h_0^0 = (h_{10}^0, s_{20}^0, h_{30}^0), \quad h_{10}^0 \in (-\infty, 1], \quad s_{20}^0 \in \{-1, 1\}, \quad h_{30}^0 \in \mathbb{R}.$$



Функция  $u_1(t)$  имеет вид  $u_1(t) = \sqrt{1 - u_2^2(t)}$ ,  $t \in [0, T]$ .

Функция  $u_2(t) = h_2(t)$  задается на интервалах, образованных разбиением отрезка  $t \in [0, T]$  точками переключения  $t_0 \in \{0 = t_0^0, t_0^1, t_0^2, \dots, T\}$ , где момент переключения  $t_0^i$  зависит от состояния  $h_0^{i-1} = (h_{10}^{i-1}, s_{20}^{i-1}, h_{30}^{i-1})$ , достигнутого в предыдущий момент  $t_0^{i-1}$ , и определяется рекуррентной формулой

$$t_0^i(h_0^{i-1}) = \min\{t > t_0^{i-1} \mid h_1(t, h_0^{i-1}) = 0\}, \quad h_0^i = h(t_0^i(h_0^{i-1}), h_0^{i-1}).$$

Здесь  $h(t, h_0^i) = (h_1(t, h_0^i), h_2(t, h_0^i), h_3(t, h_0^i)) = \text{vert} \left( e^{t\vec{H}} h_0^i \right)$  — решение вертикальной части гамильтоновой системы ПМП с начальным значением  $h_0^i$  за время  $t \geq t_0^i$ , имеющей вид

$$\begin{cases} (5.13), & \text{при } (h_{10}^i < 0) \vee (h_{10}^i = 0 \wedge s_{20}^i s_{30}^i > 0), \\ (5.17), & \text{при } (h_{10}^i > 0) \vee (h_{10}^i = 0 \wedge s_{20}^i s_{30}^i < 0), \end{cases}$$

$$\text{где } s_{30}^i = \begin{cases} \text{sign } h_{30}^i, & \text{при } h_{30}^i \neq 0, \\ s_{20}^i, & \text{при } h_{30}^i = 0. \end{cases}$$

Экстремальные траектории имеют вид

$$x(t) = \int_0^t u_1(\tau) \cos \theta(\tau) \, d\tau, \quad y(t) = \int_0^t u_1(\tau) \sin \theta(\tau) \, d\tau, \quad \theta(t) = \int_0^t u_2(\tau) \, d\tau.$$

Экстремальное управление и траектория являются решением  $e^{t\vec{H}} h_0^0$  вертикальной и горизонтальной части гамильтоновой системы ПМП  $\dot{h} = \vec{H}$  с начальным условием  $h(0) = h_0^0$ . Явные формулы в общем случае  $E \notin \{0, 1\}$  при  $h_1 < 0$ ,  $h_1 = 0$  и  $h_1 > 0$  приведены в разделах 5.2.1, 5.2.2 и 5.2.3 соответственно. Случаю  $h_1 < 0$  соответствуют отрезки экстремальных траекторий, являющиеся вращениями на месте. Случаю  $h_1 > 0$  соответствуют отрезки экстремальных траекторий, являющиеся субримановыми геодезическими на SE(2), проекция на плоскость которых не имеет точек возврата. Случай  $h_1 = 0$  примыкает к случаю  $h_1 < 0$ , при  $h_{20}^i h_{30}^i \geq 0$ , и к случаю  $h_1 > 0$ , при  $h_{20}^i h_{30}^i < 0$ .

Решения в частных случаях  $E \in \{0, 1\}$  выражаются в элементарных функциях и получаются предельным переходом в формулах в общем случае. Они соответствуют одному из типов движения:

- $E = 0 \Rightarrow h_{10} = 0$  — поворот на месте;
- $E = 1, h_{30} = 0$  — движение по прямой;
- $E = 1, h_{30} \neq 0, h_{10} > 0$  — движение по трактрисе, см. [3];
- $E = 1, h_{30} \neq 0, h_{10} < 0$  — поворот на месте;
- $E = 1, h_{10} = 0$  — поворот на месте или движение по трактрисе.

Анализируя полученное решение, наблюдаем связь между экстремальными траекториями в исследуемой задаче и задаче быстрогодействия для управляемой системы на группе движений плоскости с управлением в круге, исследованной в [3]: проекции на плоскость  $(x, y)$  траекторий в задаче на полукруге и задаче на круге совпадают, однако динамика угла  $\theta$  при движении по ним отличается — в точках возврата в задаче на полукруге происходит равномерное увеличение угла  $\theta$  на  $\pi$  радиан, см. Рис. 6.

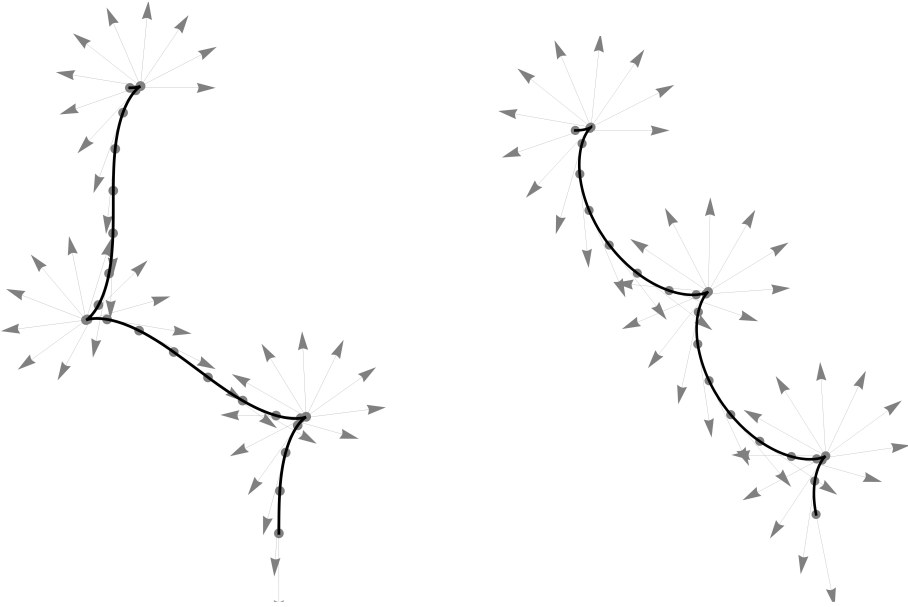


Рис. 6. Проекция экстремальных траекторий на плоскость  $(x, y)$ . Серой стрелкой обозначено направление  $\theta$  в моменты времени  $\{0, 0.5, 1, \dots, 20\}$ . Слева:  $h_{10} = \frac{1}{2}$ ,  $h_{20} = \frac{\sqrt{3}}{2}$ ,  $h_{30} = 1$ . Справа:  $h_{10} = \frac{1}{2}$ ,  $h_{20} = \frac{\sqrt{3}}{2}$ ,  $h_{30} = 0.7$ .

## § 6. Оптимальный синтез

В этом разделе произведем анализ оптимальности экстремальных управлений и опишем структуру оптимального синтеза.

Сначала заметим, что в задаче (3.1)–(3.2) нет оптимальных строго аномальных траекторий. То есть любая оптимальная аномальная траектория является также нормальной. Это утверждение следует из Теоремы 2 и очевидного соображения, что поворот на месте оптимален (происходит наискорейшим способом) тогда и только тогда, когда направление вращения не меняется, и скорость максимальна  $|u_2| = 1$ . Таким образом, достаточно рассмотреть только нормальный случай.

В работе [4] указано, что оптимальная траектория на плоскости не имеет внутренних точек разворота. Точками разворота могут быть лишь граничные точки. Это утверждение формализуется в виде следующей теоремы.

ТЕОРЕМА 4. *Оптимальная траектория в задаче (3.1)–(3.2) имеет вид*

$t \in$	$[0, t_0^1)$	$[t_0^1, t_0^2)$	$[t_0^2, T]$
$x(t)$	0	$x_s(t)$	$x_1$
$y(t)$	0	$y_s(t)$	$y_1$
$\theta(t)$	$s_1 t$	$\theta_s(t)$	$\theta_s(t_0^2) + s_2(t - t_0^2)$ ,

(6.1)

где  $0 \leq t_0^1 \leq t_0^2 \leq T$  — моменты переключения управления, знаки  $s_i = \pm 1$  — параметры, определяемые граничными условиями, а траектория

$$(x_s(t), y_s(t), \theta_s(t)) =: q_s(t), \quad q_s(t_0^1) = (0, 0, \theta_0^1), \quad q_s(t_0^2) = (x_1, y_1, \theta_0^2)$$

является субримановой кратчайшей на SE(2), проекция на плоскость которой не содержит внутренних точек возврата (т.е. для любого  $t \in (t_0^1, t_0^2)$  выполнено  $\dot{x}_s(t)^2 + \dot{y}_s(t)^2 > 0$ ).

*Доказательство.* Вид (6.1) оптимальной траектории следует из Теоремы 3 с учетом того, что повороты на месте могут быть только на начальном или конечном интервале времени. Неоптимальность траектории  $\gamma$  с внутренней точкой разворота можно доказать, построив более быструю траекторию  $\gamma_0$  (срезку). См. Рис. 7.

Рассмотрим траекторию  $\gamma$  с внутренней точкой разворота. Обозначим через  $\bar{\gamma}$  проекцию  $\gamma$  на плоскость. Обозначим точку разворота через  $B = \bar{\gamma}(t)$ ,  $t \in [t_B, t_B + \pi]$ . Для любых двух точек  $A = \bar{\gamma}(t_A)$  и  $C = \bar{\gamma}(t_C)$ ,  $t_A < t_B < t_B + \pi < t_C$  из достаточно малой окрестности точки  $B$  выполнено

$$|\theta_0| + |\theta_1| < \pi. \quad (6.2)$$

Время движения  $T = t_C - t_A$  по  $\bar{\gamma}$  из  $A$  в  $C$  имеет оценку снизу

$$l_{AB} + l_{BC} + \pi < T, \quad (6.3)$$

где  $l_{AB}$  — евклидово расстояние между точками  $A$  и  $B$ ,  $l_{BC}$  — между точками  $B$  и  $C$ . Эта оценка верна, поскольку время движения вдоль любой траектории между двумя точками не может быть меньше, чем при движении по отрезку прямой. Поэтому  $l_{AB} + l_{BC} < t_B - t_A + t_C - t_B - \pi = T - \pi$

Для расстояния  $l_{AC}$  между  $A$  и  $C$  выполнено неравенство треугольника

$$l_{AC} < l_{AB} + l_{BC}. \quad (6.4)$$

Траектория  $\gamma_0$  строится из трех последовательных движений: поворот на месте на угол  $\theta_0$ , движение вперед за время  $l_{AC}$ , поворот на месте на угол  $\theta_1$ . Время движения  $T_0$  по траектории  $\gamma_0$  из  $\gamma(t_A)$  в  $\gamma(t_C)$  вычисляется явно

$$T_0 = |\theta_0| + l_{AC} + |\theta_1|. \quad (6.5)$$

Комбинируя (6.2)–(6.5), получаем  $T_0 < T$ . ■

Ввиду сложной параметризации экстремальных траекторий, в общем случае явное выражение оптимальной траектории  $q_s$  через граничные условия в настоящее время остается неизвестным. Для этого требуется найти обратное экспоненциальное отображение (вообще говоря, многозначное)

$$\text{Exp}^{-1} : \mathbb{M} \rightarrow C \times \mathbb{R}^+ : q_1 \mapsto (h(0), T),$$

которое переводит конечную точку  $q_1 \in \mathbb{M}$  оптимальной траектории в начальный импульс  $h(0) \in C = T_e^* \mathbb{M} \cap \{H = 1\}$  и время  $T \geq 0$ . В работе [19] предложено численное решение, основанное на методе стрельбы.

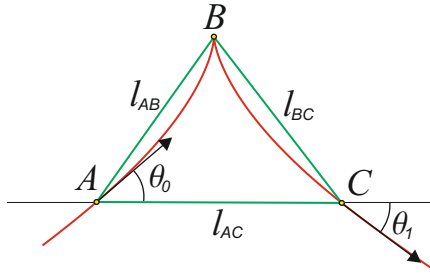


Рис. 7. Неоптимальность траектории с внутренней точкой поворота.

### Заключение

В данной работе исследована задача быстродействия (3.1)–(3.2) на группе движений плоскости с управлением в полукруге. Рассматриваемая управляемая система задает модель машины на плоскости, которая может двигаться вперед и поворачивать сколь угодно быстро.

Траектории такой системы используются в области обработки изображений. Данная постановка нацелена на устранение проблемы точек возврата у существующего метода поиска выделяющихся кривых на изображениях.

Помимо прикладного значения задача представляет интерес в теории управления, как модельный пример трехмерной управляемой системы с компактным множеством управлений, содержащим ноль на границе.

В статье получены следующие основные результаты:

- конструктивно доказана полная управляемость и существование оптимальных управлений (Теорема 1);
- найден явный вид аномальных управлений (Теорема 2);
- найдена явная параметризация нормальных управлений (Теорема 3);
- найден явный вид экстремальных траекторий;
- частично исследован вопрос оптимальности экстремалей;
- описана структура оптимального синтеза (Теорема 4).

Автор благодарен проф. Ю. Л. Сачкову за ценные замечания по работе.

### Список литературы

- [1] L. E. Dubins, “On Curves of Minimal Length with a Constraint on Average Curvature, and with Prescribed Initial and Terminal Positions and Tangents”, *American Journal of Mathematics*, **79**:3 (1957), 497–516.
- [2] J. A. Reeds, L. A. Shepp, “Optimal paths for a car that goes both forwards and backwards”, *Pacific Journal of Mathematics*, **145**:2 (1990), 367–393.
- [3] Y. L. Sachkov, “Cut locus and optimal synthesis in the sub-Riemannian problem on the group of motions of a plane”, *ESAIM: Control, Optimisation and Calculus of Variations*, **17**:2 (2011), 293–321.

- [4] R. Duits, S. P. L. Meesters, J.-M. Mirebeau, J. M. Portegies, “Optimal Paths for Variants of the 2D and 3D Reeds–Shepp Car with Applications in Image Analysis”, *Journal of Mathematical Imaging and Vision*, **60** (2018), 816–848.
- [5] J.-P. Laumond, “Feasible Trajectories for Mobile Robots with Kinematic and Environment Constraints”, 1986, 346–354.
- [6] R. Montgomery., *A Tour of Subriemannian Geometries, Their Geodesics and Applications*, Mathematical Surveys and Monographs, **91**, American Mathematical Society, 2002.
- [7] H. J. Sussmann, G. Tang, “Shortest paths for the Reeds-Shepp car: a worked out example of the use of geometric techniques in nonlinear optimal control”, *Report SYCON1-10*, Rutgers University, 1991.
- [8] В. Н. Берестовский, “Геодезические левоинвариантной неголономной римановой метрики на группе движений евклидовой плоскости”, *Сибирский математический журнал*, **35**:6 (1994), 1223–1229.
- [9] G. Sanguinetti, R. Duits, E. Bekkers, M. H. J. Janssen, A. Mashtakov, J. M. Mirebeau, “Sub-Riemannian Fast Marching in  $SE(2)$ ”, *Progress in Pattern Recognition, Image Analysis, Computer Vision, and Applications*, Lecture Notes in Computer Science, **9423**, 2015, 366–374.
- [10] E. J. Bekkers, R. Duits, A. Mashtakov, Y. Sachkov, “Vessel tracking via sub-riemannian geodesics on the projective line bundle” (Geometric Science of Information : Third International Conference), Lecture Notes in Computer Science, **10589**, eds. F. Nielsen, F. Barbaresco, 2017, 773–781.
- [11] А. А. Аграчев, Ю. Л. Сачков, *Геометрическая теория управления*, Физматлит, М, 2005.
- [12] А. А. Ардентов, Л. В. Локуциевский, Ю. Л. Сачков, “Решение серии задач оптимального управления с 2-мерным управлением на основе выпуклой тригонометрии”, *Доклады Российской академии наук. Математика, информатика, процессы управления*, **494**:1 (2020), 86–92.
- [13] G. Citti, A. Sarti, “A cortical based model of perceptual completion in the roto-translation space”, *Journal of Mathematical Imaging and Vision*, **24**:3 (2006), 307–326.
- [14] U. Boscain, J.-P. Gauthier, R. Chertovskih, A. Remizov, “Hypoelliptic diffusion and human vision: a semidiscrete new twist”, *SIAM Journal on Imaging Sciences*, **7**:2 (2014), 669–695.
- [15] U. Boscain, J. Gauthier, D. Prandi, A. Remizov, “Image reconstruction via non-isotropic diffusion in Dubins/Reed-Shepp-like control systems”, 2014, 4278–4283.
- [16] A. P. Mashtakov, A. A. Ardentov, Yu. L. Sachkov, “Parallel Algorithm and Software for Image inpainting via Sub-Riemannian Minimizers on the Group of Rototranslations”, *Numerical Mathematics: Theory, Methods and Applications*, **6**:1 (2013), 95–115.
- [17] J. Petitot, “The neurogeometry of pinwheels as a sub-Riemannian contact structure”, *Journal of Physiology-Paris*, **97**:2–3 (2003), 265–309.
- [18] B. Franceschiello, A. Mashtakov, G. Citti, A. Sarti, “Geometrical optical illusion via sub-Riemannian geodesics in the roto-translation group”, *Differential Geometry and its Applications*, **65** (2019), 55–77.
- [19] R. Duits, U. Boscain, F. Rossi, Y. L. Sachkov, “Association Fields via Cuspless Sub-Riemannian Geodesics in  $SE(2)$ ”, *Journal of Mathematical Imaging and Vision*, **49**:2 (2014), 384–417.
- [20] U. Boscain, R. Duits, F. Rossi, Y. L. Sachkov, “Curve Cuspless Reconstruction via sub-Riemannian Geometry”, *ESAIM: Control, Optimisation and Calculus of Variations*, **20**:3 (2014), 748–770.

- [21] D. J. Field, A. Hayes, R. Hess, “Contour integration by the human visual system: Evidence for a local “association field””, *Vision Research*, **33**:2 (1993), 173–193.
- [22] R. Duits, M. Felsberg, G. Granlund, B. Romeny, “Image Analysis and Reconstruction using a Wavelet Transform Constructed from a Reducible Representation of the Euclidean Motion Group”, *International Journal of Computer Vision*, **72**:1 (2007), 79–102.
- [23] E. J. Bekkers, R. Duits, A. Mashtakov, G. R. Sanguinetti, “A PDE Approach to Data-driven Sub-Riemannian Geodesics in SE(2)”, *SIAM Journal on Imaging Sciences*, **8**:4 (2015), 2740–2770.
- [24] A. Mashtakov, R. Duits, Y. Sachkov, E. J. Bekkers, I. Beschastnyi, “Tracking of Lines in Spherical Images via Sub-Riemannian Geodesics in SO(3)”, *Journal of Mathematical Imaging and Vision*, **58** (2017), 239–264.
- [25] R. Duits, A. Ghosh, T. Dela Haije, A. Mashtakov, “On sub-Riemannian geodesics in SE(3) whose spatial projections do not have cusps”, *Journal of dynamical and control systems*, **22** (2016), 771–805.
- [26] W. L. J. Scharpach, *Optimal paths for the Reeds-Shepp car with monotone spatial control and vessel tracking in medical image analysis*, Ms. Thesis, 2018 [https://pure.tue.nl/ws/portalfiles/portal/109484202/Scharpach\\_W.pdf](https://pure.tue.nl/ws/portalfiles/portal/109484202/Scharpach_W.pdf).
- [27] М. И. Зеликин, *Оптимальное управление и вариационное исчисление*, Едиториал УРСС, М., 2004.
- [28] A. Agrachev, D. Barilari, U. Boscain, *A Comprehensive Introduction to Sub-Riemannian Geometry*, Cambridge Studies in Advanced Mathematics, Cambridge: Cambridge University Press, 2019.
- [29] C. Laurent-Gengoux, A. Pichereau, P. Vanhaecke, *Poisson structures*, Grundlehren der mathematischen Wissenschaften, Springer-Verlag Berlin Heidelberg, 2013.
- [30] M. Lakshmanan, S. Rajasekar, *Nonlinear Dynamics: Integrability Chaos and Patterns*, Advanced Texts in Physics, Springer-Verlag, 2003.
- [31] P. M. Mathews, M. Lakshmanan, “Dynamics of a nonlinear field”, *Annals of Physics*, **79**:1 (1973), 171–185.
- [32] В. И. Арнольд, *Обыкновенные дифференциальные уравнения*, РХД, Ижевск, 2000.
- [33] P. F. Byrd, M. D. Friedman, “Table of Integrals of Jacobian Elliptic Functions”, *Handbook of Elliptic Integrals for Engineers and Scientists*, Die Grundlehren der mathematischen Wissenschaften (in Einzeldarstellungen mit besonderer Berücksichtigung der Anwendungsgebiete), **67**, Springer, Berlin, Heidelberg, 1971, 191–222.

**А. П. Маштаков (A. P. Mashtakov)**

Институт программных систем им. А. К. Айламазяна РАН

E-mail: [alexey.mashtakov@gmail.com](mailto:alexey.mashtakov@gmail.com)

Поступила в редакцию

4 мая 2021 г.